

دانشگاه صنعتی خواجه نصیرالدین طوسی

دانشکده مهندسی مکانیک

پایان نامه کارشناسی ارشد

در رشته مهندسی سیستم‌های انرژی

بهینه سازی چیدمان برجهای تقطیر

استاد راهنما:

دکتر مجید عمید پور

دانشجو:

کاظم حسن زاده

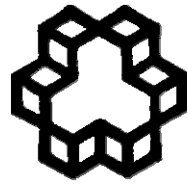
۸۶۰۴۳۵۴

۱۳۸۹ تیر

لَهُ حِلْمٌ عَظِيمٌ

تقدیم به پدرم که بی نیازیم آموخت

به مادرم که به من درس محبت داد



دانشگاهی خواجه‌پسرالدین طوسی

تائیدیه هیات داوران

هیات داوران پس از مطالعه پایان نامه و شرکت در جلسه دفاع از پایان نامه تهیه شده تحت عنوان: **بهینه سازی چیدمان برجه‌ای نقطه‌بر** توسط آقای کاظم حسن زاده لشکاجانی صحت و کفايت تحقیق انجام شده را برای اخذ درجه کارشناسی ارشد در رشته: **مهندسی مکانیک گرایش: مهندسی سیستمهای انرژی** مورد تایید قرار می دهند.

امضاء آقای دکتر عمید پور ۱- استاد راهنما

امضاء آقای دکتر ----- ۲- استاد مشاور

امضاء آقای دکتر بشر حق ۳- ممتحن خارجی

امضاء آقای دکتر بهبهانی نیا ۴- ممتحن داخلی

امضاء آقای دکتر بهبهانی نیا ۵- نماینده تحصیلات تكميلی

اظهار نامه دانشجو

موضوع پایان نامه: بهینه سازی چیدمان برجهای تقطیر

استاد راهنما: آقای دکتر عمید پور

نام دانشجو: کاظم حسن زاده لشکاجانی

شماره دانشجویی: ۸۶۰۴۳۵۴

اینجانب کاظم حسن زاده دانشجوی دوره کارشناسی ارشد مهندسی مکانیک گرایش مهندسی سیستمهای انرژی دانشکده مهندسی مکانیک دانشگاه صنعتی خواجه نصیر الدین طوسی گواهی می نمایم که تحقیقات ارائه شده در این پایان نامه توسط شخص اینجانب انجام شده و صحت و اصالت مطالب نگارش شده مورد تایید می باشد، و در مورد استفاده از کار دیگر محققان به مرحم مورد استفاده اشاره شده است. بعلاوه گواهی می نمایم که مطالب مندرج در پایان نامه تاکنون برای دریافت هیچ نوع مدرک یا امتیازی توسط اینجانب یا فرد دیگری در هیچ جا ارائه نشده است و در تدوین متن پایان نامه چارچوب مصوب دانشگاه را به طور کامل رعایت کرده است.

امضای دانشجو:

تاریخ:

فرم حق طبع و نشر و مالکیت نتایج

- ۱- حق چاپ و تکثیر این پایان نامه متعلق به نویسنده آن می باشد. هر گونه کپی برداری به صورت کل پایان نامه یا بخشی از آن تنها با موافقت نویسنده یا کتابخانه دانشکده مکانیک دانشگاه صنعتی خواجه نصیرالدین طوسی مجاز می باشد.
ضمانت این صفحه نیز باید در نسخه تکثیر شده وجود داشته باشد.
- ۲- کلیه حقوق معنوی این اثر متعلق به دانشگاه صنعتی خواجه نصیر الدین طوسی می باشد و بدون اجازه کتبی دانشگاه به شخص ثالث قابل واگذاری نیست.
همچنین استفاده از اطلاعات و نتایج موجود در پایان نامه بدون ذکر مرجع مجاز نمی باشد.

تشکر و قدر دانی

بر خود لازم می دانم از تلاش و زحمات استاد راهنمای عزیزم جناب آقای دکتر عمید پور که در طول دوره کارشناسی ارشد از حمایت و راهنمایی ایشان همواره بهره مند بوده ام تشکر و قدر دانی نمایم. راهنمایی های ایشان در این راه آموزگار بی همتای زندگانی ام خواهد بود.

از اساتید ممتحن محترم، جناب آقای دکتر بشر حق و دکتر بهبهانی نبا که فرصت مطالعه بر این تحقیق نهادند سپاس گزاری می کنم.

در پایان از تلاش و همکاریهای کلیه عزیزانی که در این تحقیق با اینجانب همکاری نمودند مخصوصا خانواده محترم صمیمانه قدردانی می نمایم.

چکیده

برج تقطیر به عنوان مهمترین وسیله جهت جداسازی ترکیبات هیدروکربنی می باشد. در برجهای تقطیر مصرف انرژی سهم بالایی را در هزینه های عملیاتی سیستم دارد و کاهش آن به عنوان ملزوات سیستم به شمار می آید. از طرفی جداسازی جریانها با توجه به تعداد اجزای تشکیل دهنده، توالیهای متعددی را دارا می باشد و تعداد این توالی چیدمانها با افزایش تعداد اجزاء جریان بشدت افزایش می یابد. این امر باعث پیچیدگی سیستم شده و دست یابی به چیدمان بهینه را دشوارتر می سازد.

در این پایان نامه با استفاده از تئوریهای مربوط به برج تقطیر حاکم بر مفاهیم تکنولوژی پیونج به بهینه سازی توالی برجهای تقطیر پرداخته شده است. بدین صورت که ابتدا بر اساس تئوریهای یکپارچه سازی، حداکثر یکپارچه سازیهای ممکن برای سیستم جداسازی محصول سبک واحد الفین با چهار جزء در توالیهای مختلف در نظر گرفته شده و با استفاده روشهای بهینه سازی ممکن شرایط عملیاتی بهینه شده است. ضمناً جهت بالا بردن بازدهی اگزرزیتیک در مجموعه برجهای تقطیر امکان تولید توان در چیدمانها بررسی شده و همچنین نشان داده شده که سیستم پیچیده ای که دارای حداکثر یکپارچه سازی است لزوماً دارای قابلیت کنترل پذیری کمتری نسبت به بقیه چیدمانها نمی باشد.

در بخش بعدی الگوریتمی برای ایجاد یکپارچه سازی های حرارتی در چیدمانها و محاسبه تابع هدف هزینه های سالانه کل سیستم ارائه شده و سپس با استفاده از روشهای سریع به طراحی، کد گذاری و حل ریاضیاتی جهت بهینه سازی توالیهای مختلف در موارد مطالعاتی پرداخته شده است. بمنظور کمینه سازی هزینه های سالانه از روشهای بهینه سازی الگوریتم ژنتیک و جستجوی هارمونی استفاده شده است. در نهایت با استفاده از این نتایج و روش ارائه شده، مساله جداسازی الفین با تمام اجزاء بررسی شده و چیدمان یکپارچه حرارتی بهینه برای آن انتخاب شده است. همچنین در تمام قسمتها نتایج مراجع معتبر مقایسه و صحه گذاری شده و نشان از آن دارد که در تمام موارد دقت و سرعت بهتری نسبت به کارهای گذشته دارد.

فهرست مطالب

عنوان		صفحة
فصل ۱: مقدمه		۱
۱-۱ انگیزه انتخاب پروژه		۱
۱-۲ تاریخچه سنتز ترکیب های یکپارچه جداسازی		۲
۱-۳ تقسیم بندی مطاب پایان نامه		۵
فصل ۲: برج نقطیر		۶
۲-۱ برج های نقطیر		۷
۲-۲ اصول جداسازی چند مرحله ای		۸
۲-۲-۱ مرحله های آبشاری		۸
۲-۲-۲ محاسبه دمای نقطه شبنم		۱۳
۲-۲-۳ محاسبه دمای نقطه حباب		۱۴
۲-۲-۴ روش های میان بر طراحی ستونهای نقطیر چند جزئی		۱۵
۲-۲-۵ اصول طراحی در جداسازی های چند جزئی		۱۸
۲-۳ یکپارچه سازی برج ها در فرایند		۲۰
۲-۳-۱ مشخصات یکپارچه سازی برج های نقطیر		۲۱
۲-۳-۲ تعیین مکان مناسب برج های نقطیر		۲۱
۲-۳-۳ استفاده از منحنی های جامع ترکیبی برای یکپارچه سازی برج های نقطیر		۲۳
۲-۳-۴ توسعه طراحی برج های ساده برای بهبود یکپارچگی حرارتی		۲۵
۲-۳-۵ نکاتی در مورد هزینه های سرمایه ای		۲۸
۲-۳-۶ مشخصات یکپارچه سازی در ترتیب بندی برج های نقطیر		۳۰
۲-۴ بررسی ترتیب بندی بهینه ستون ها		۳۶

۳۶.....	۲-۴-۱ ترتیب بندی تقطیر با استفاده از ستون های ساده.....
۳۹.....	۲-۴-۲ محدودیت های کاربردی.....
۳۹.....	۲-۴-۳ گزینه های ترتیب بندی برج های ساده.....
۴۰.....	۲-۵ کنترل پذیری.....
۴۳.....	۲-۶ تحلیل اگررژی.....
۴۳.....	۲-۶-۱ تعاریف اگررژی.....
۴۴.....	۲-۶-۲ مؤلفه های اگررژی.....
۴۶.....	۲-۶-۳ بازگشت ناپذیری و افت اگررژی
۴۷.....	۲-۶-۴ بازده اگررژتیک.....
۴۹.....	فصل ۳: معرفی روش های بهینه سازی بکار رفته.....
۵۰.....	۳-۲ الگوریتم ژنتیک.....
۵۴.....	۳-۳ الگوریتم جستجوی هارمونی.....
۵۴.....	۳-۳-۱ مرحله اول: تنظیم پارامترها.....
۵۵.....	۳-۳-۲ مرحله دوم: (تولید حافظه هارمونی)
۵۵.....	۳-۳-۳ مرحله سوم: (تولید یک حافظه هارمونی جدید).....
۵۶.....	۳-۳-۴ مرحله چهارم: (بروز کردن شرایط توقف).....
۵۶.....	۳-۳-۵ مرحله پنجم: (چک کردن شرایط توقف).....
۵۸.....	۳-۳-۶ الگوریتم جستجوی هارمونی بهبود یافته.....
۵۹.....	۳-۳-۷ دلایل انتخاب الگوریتم جستجوی هارمونی
۶۱.....	فصل ۴: بررسی موارد مطالعاتی
۶۱.....	۴-۱ معرفی واحد اولفین.....
۷۰.....	۴-۲ بهینه سازی حرارتی چیدمان برجهای تقطیر برای جداسازی جریان چهار جزئی

۷۱.....	۴-۲-۱ مورد مطالعاتی
۸۵.....	۴-۲-۲ شرح و بررسی نتایج
۸۹.....	۴-۲-۳ نتیجه گیری
۹۱.....	۴-۳ تولید توان در چیدمان برجهای یکپارچه حرارتی برای جداسازی جریان چهار جزئی
۹۲.....	۴-۳-۱ مورد مطالعاتی
۱۰۳.....	۴-۳-۲ شرح و بررسی نتایج
۱۰۹.....	۴-۴ بررسی قابلیت کنترل پذیری چیدمان برجهای تقطیر بهمراه یکپارچه سازی های حرارتی بمنظور جداسازی جریان چند جزی
۱۱۰.....	۴-۴-۱ مورد مطالعاتی
۱۱۱.....	۴-۴-۲ خواص تئوری کنترل
۱۱۱.....	۴-۴-۳ تحلیل مقدار ویژه
۱۱۷.....	۴-۴-۴ تحلیل آرایه بهره نسبی
۱۱۸.....	۴-۴-۵ نتیجه گیری
۱۱۹.....	۴-۵ ارائه الگوریتمی جهت ایجاد حداکثر یکپارچه سازی حرارتی چیدمان ها
۱۲۰.....	۴-۵-۱ فرمول بندی و کد گذاری مسئله
۱۲۳.....	۴-۵-۲ کد گذاری روش ایجاد یکپارچه سازی های حرارتی مابین برجها
۱۲۸.....	۴-۵-۳ موارد مطالعاتی
۱۲۸.....	۴-۵-۴ مورد مطالعاتی ۱
۱۳۱.....	۴-۵-۵ مورد مطالعاتی ۲
۱۳۴.....	۴-۵-۶ مورد مطالعاتی ۳
۱۳۶.....	۴-۵-۷ مورد مطالعاتی ۴
۱۳۹.....	۴-۵-۸ مورد مطالعاتی ۵

۱۴۱.....	۴-۵-۹ نتیجه گیری
۱۴۲.....	۴-۶ بهینه سازی ساختار جداسازی واحد اولفین با ایجاد یکپارچه سازی های حرارتی.
۱۴۳.....	۴-۶-۱ کد گزاری مسئله بمنظور مدل سازی، ایجاد یکپارچه سازی های حرارتی و
۱۴۴.....	محاسبه هزینه های کل سالانه
۱۴۵.....	۴-۶-۲ مورد مطالعاتی
۱۴۶.....	۴-۶-۳ نتیجه گیری

فصل ۵: نتیجه گیری و پیشنهادات.

۱۵۵.....	۱-۵ بهینه سازی حرارتی چیدمان برجهای تقطیر برای جداسازی جریان چهار جزئی
۱۵۶.....	۲-۵ تولید توان در چیدمان برجهای یکپارچه حرارتی برای جداسازی جریان چهار جزئی
۱۵۷.....	۳-۵ بررسی قابلیت کنترل پذیری چیدمان برجهای تقطیر بهمراه یکپارچه سازی های حرارتی بمنظور جداسازی جریان چند جزی
۱۵۸.....	۴-۵ ارائه الگوریتمی جهت ایجاد حداکثر یکپارچه سازی حرارتی چیدمان ها
۱۶۰.....	۵-۵ بهینه سازی ساختار جداسازی واحد اولفین با ایجاد یکپارچه سازی های حرارتی.
۱۶۱.....	۶-۵ پیشنهادات
۱۶۴.....	مراجع

فهرست اشکال

عنوان	صفحه
شکل ۱. ۲-۱. مراحل آبشاری.....	۹
شکل ۲. نمودار شماتیک مراحل آبشاری.....	۱۰
شکل ۲-۳. محل مناسب برای برج های نقطیر.....	۲۲
شکل ۲-۴. برج های نقطیری که به طور مناسبی در منحنی جامع ترکیبی جاگذاری نشده اند.....	۲۴
شکل ۲-۵. برج های نقطیری که به خوبی در فرایند یکپارچه شده اند.....	۲۵
شکل ۲-۶. برج های دوپاره یکپارچه (Double effect).....	۲۶
شکل ۲-۷. برج نقطیر با چگالنده میانی.....	۲۷
شکل ۲-۸. موازنۀ هزینه های سرمایه گذاری در برج ها با شبکه مبدل های حرارتی در برجی که به خوبی با فرایند یکپارچه شده است.....	۲۸
شکل ۲-۹. یکپارچه سازی حرارتی ترتیب بندی دو برج نقطیر ساده	۳۰
شکل ۲-۱۰. برای ترتیب بندی های بدون محدودیت برج های ساده بهترین گزینه های ترتیب بندی مجزا، بهترین موارد در ترتیب بندی یکپارچه نیز هستند.....	۳۱
شکل ۲-۱۱. جریان جرمی اجزاء کلیدی در تمام ترتیب بندی ها مشابهند، اما جریان جرمی اجزاء غیر کلیدی متغیر است.....	۳۲
شکل ۲-۱۲. جریان جرمی کلی که به دو جزء کلیدی و غیر کلیدی تقسیم شده اند.....	۳۲
شکل ۲-۱۳. پروفایل دما-آنالپی ترتیب بندی ستون های ساده بدون محدودیت و دبی کم اجزاء غیر کلیدی.....	۳۳
شکل ۲-۱۴. ترتیب بندی های مستقیم کوپل حرارتی هم مقدار حرارت و هم سطوح دمایی را تغییر می دهند.....	۳۵

شکل ۲-۱۵. ترتیب بندی های غیر مستقیم کوپل حرارتی هم مقدار حرارت و هم سطوح دمایی را تغییر می دهند.....	۳۶
شکل ۲-۱۶. ترتیب بندی مستقیم و غیر مستقیم برج های تقطیر ساده برای سه محصول.....	۳۷
شکل ۲-۱۷. ترتیب بندی های مختلف برای یک جداسازی ۴ محصوله.....	۳۸
شکل ۲-۱۸. اتلاف اگزرسی در یک مبدل حرارتی.....	۴۶
شکل ۲-۱۹. منحنی بهینه سازی مصرف انرژی.....	۴۸
شکل ۳-۱. دشوار بودن یافتن قله اصلی در برخی توابع.....	۵۰
شکل ۳-۲. الگوریتم حل مسائل به روش الگوریتم ژنتیک.....	۵۲
شکل ۳-۳. نمایش یک کروموزوم.....	۵۲
شکل ۳-۴. فلوچارت الگوریتم جستجوی هارمونی.....	۵۷
شکل ۳-۵. تغییرات HMCR, PAR, bw با تولید هارمونی های جدید.....	۵۹
شکل ۴-۱. واحد اولفین و محصولات تولیدی در هر بخش از واحد.....	۶۳
شکل ۴-۲. تامین برودت برای فرایندهای دماپائین واحد اولفین با سیستم خنک کاری دماپائین.....	۶۴
شکل ۴-۳. چیدمان Distributed فرایند اولیه.....	۷۷
شکل ۴-۴. چیدمان Distributed(C1&C3-R2).....	۷۷
شکل ۴-۵. چیدمان Distributed(C3-R1).....	۷۷
شکل ۴-۶. چیدمان Direct.....	۷۸
شکل ۴-۷. چیدمان Direct(C3-R1).....	۷۸
شکل ۴-۸. چیدمان Direct(C3-R2).....	۷۸
شکل ۴-۹. چیدمان Direct-Indirect.....	۷۹
شکل ۴-۱۰. چیدمان Direct-Indirect(C2-R1).....	۷۹
شکل ۴-۱۱. چیدمان Indirect.....	۷۹

- ۷۹ شکل ۴-۱۲. چیدمان Indirect(C1&C2-R3)
- ۸۰ شکل ۴-۱۳. چیدمان Indirect-Direct
- ۸۰ شکل ۴-۱۴. دیاگرام GCC چیدمان Distributed فرایند اولیه
- ۸۰ شکل ۴-۱۵. دیاگرام GCC چیدمان Distributed(C1&C3-R2)
- ۸۱ شکل ۴-۱۶. دیاگرام GCC چیدمان Distributed(C3-R1)
- ۸۱ شکل ۴-۱۷. دیاگرام GCC چیدمان Direct
- ۸۲ شکل ۴-۱۸. دیاگرام GCC چیدمان Direct(C3-R1)
- ۸۲ شکل ۴-۱۹. دیاگرام GCC چیدمان Direct(C3-R2)
- ۸۳ شکل ۴-۲۰. دیاگرام GCC چیدمان Direct-Indirect
- ۸۳ شکل ۴-۲۱. دیاگرام GCC چیدمان Direct-Indirect(C2-R1)
- ۸۴ شکل ۴-۲۲. دیاگرام GCC چیدمان Indirect
- ۸۴ شکل ۴-۲۳. دیاگرام GCC چیدمان Indirect(C1&C2-R3)
- ۸۵ شکل ۴-۲۴. دیاگرام GCC چیدمان Indirect-Direct
- ۱۰۰ شکل ۴-۲۵. چیدمان Distributed(1X2&1X3)
- ۱۰۰ شکل ۴-۲۶. چیدمان Distributed(C1&C3-R2)(1X2&1X3)
- ۱۰۱ شکل ۴-۲۷. چیدمان Direct(1X2&2X3)
- ۱۰۱ شکل ۴-۲۸. چیدمان Direct(C3-R1)(1X2&2X3)
- ۱۰۱ شکل ۴-۲۹. چیدمان Direct(C3-R2&R1)(1X2)
- ۱۰۲ شکل ۴-۳۰. چیدمان Direct-Indirect(1X2&2X3)
- ۱۰۲ شکل ۴-۳۱. چیدمان Direct-Indirect(C2-R1)(2X3)
- ۱۰۲ شکل ۴-۳۲. چیدمان Indirect(1X2&2X3)
- ۱۰۲ شکل ۴-۳۳. چیدمان Indirect(C1&C2-R3)(1X2&2X3)

..... شکل ۴-۳۴. چیدمان Indirect-Direct(1X2&2X3)	۱۰۳
..... شکل ۴-۳۵. مقادیر ویژه مینیمم در فرکانس های پایین و میانی	۱۱۳
..... شکل ۴-۳۶. مقادیر ویژه مینیمم در فرکانس های بالا	۱۱۴
..... شکل ۴-۳۷. عدد شرطی در فرکانس های پایین و میانی	۱۱۶
..... شکل ۴-۳۸. عدد شرطی در فرکانس های بالا	۱۱۷
..... شکل ۴-۳۹. نمایش کدگذاری نقاط جداسازی در جریان چند جزئی	۱۲۱
..... شکل ۴-۴۰. نمایش کدگذاری چیدمان برجها در جداسازی جریان چند جزئی	۱۲۳
..... شکل ۴-۴۱. الگوریتم ارائه شده بمنظور ایجاد یکپارچه سازی های حرارتی و محاسبه هزینه های عملیاتی چیدمان	۱۲۶
..... شکل ۴-۴۲. نمایش روش کار الگوریتم ارائه شده برای محاسبه دماها و انتقال حرارتها مابین برجها	۱۲۷
..... شکل ۴-۴۳. نتایج کار Miguel برای مورد مطالعاتی ۱	۱۳۰
..... شکل ۴-۴۴. نتایج کار حاضر برای مورد مطالعاتی ۱	۱۳۰
..... شکل ۴-۴۵. دیاگرام مقدار تابع هدف نسبت به iteration ها برای مورد مطالعاتی ۱	۱۳۱
..... شکل ۴-۴۶. نتایج کار Miguel برای مورد مطالعاتی ۲	۱۳۲
..... شکل ۴-۴۷. نتایج کار حاضر برای مورد مطالعاتی ۲	۱۳۳
..... شکل ۴-۴۸. دیاگرام مقدار تابع هدف نسبت به iteration ها مورد مطالعاتی ۲	۱۳۴
..... شکل ۴-۴۹. نتایج کار Miguel برای مورد مطالعاتی ۳	۱۳۵
..... شکل ۴-۵۰. نتایج کار حاضر برای مورد مطالعاتی ۳	۱۳۵
..... شکل ۴-۵۱. دیاگرام مقدار تابع هدف نسبت به iteration ها برای مورد مطالعاتی ۳	۱۳۶
..... شکل ۴-۵۲. نتایج کار Miguel برای مورد مطالعاتی ۴	۱۳۷
..... شکل ۴-۵۳. نتایج کار حاضر برای مورد مطالعاتی ۴	۱۳۸
..... شکل ۴-۵۴. دیاگرام مقدار تابع هدف نسبت به iteration ها مورد مطالعاتی ۴	۱۳۹

- شکل ۴-۵۵. نتایج کار Miguel برای مورد مطالعاتی ۵ ۱۴۰
- شکل ۴-۵۶. نتایج کار حاضر برای مورد مطالعاتی ۵ ۱۴۰
- شکل ۴-۵۷. دیاگرام مقدار تابع هدف نسبت به iteration ها در مورد مطالعاتی ۵ ۱۴۱
- شکل ۴-۵۸. الگوریتم کامل ارائه شده جهت ایجاد یکپارچه سازی های حرارتی، محاسبه هزینه های اولیه برجها و مبدلها و در نهایت محاسبه هزینه های کلی سالانه TAC ۱۴۵
- شکل ۴-۵۹. هزینه های یوتیلیتی ها به صورت تابعی بر حسب دما ۱۴۶
- شکل ۴-۶۰. چیدمان حالت بهینه اولیه واحد اولفین(حالت مبنا) ۱۴۸
- شکل ۴-۶۱. نتیجه حاصل از طراحی چیدمان یکپارچه حرارتی به روش IHSA ۱۵۰
- شکل ۴-۶۲. دیاگرام مقدار تابع هدف نسبت به iteration ها به روش IHSA برای مورد مطالعاتی اولفین ۱۵۱
- شکل ۴-۶۳. نتیجه حاصل از طراحی چیدمان یکپارچه حرارتی به روش GA ۱۵۱
- شکل ۴-۶۴. دیاگرام مقدار تابع هدف نسبت به Generation ها به روش GA برای مورد مطالعاتی اولفین ۱۵۲
- شکل ۵-۱. چیدمان Distributed(C1&C3-R2) ۱۵۵
- شکل ۵-۲. چیدمان Indirect(C1&C2-R3)(1X2&2X3) ۱۵۷
- شکل ۵-۳. نمایش روش کار الگوریتم ارائه شده برای محاسبه دمایها و انتقال حرارتها مابین برجها ۱۶۰
- شکل ۵-۴. نتیجه حاصل از طراحی چیدمان یکپارچه حرارتی به روش IHSA ۱۶۲

فهرست جداول

عنوان	صفحه
جدول ۱-۲. محاسبه دمای نقطه حباب و شبنم با استفاده از کدهای توسعه داده شده در تحقیق حاضر و مقایسه با نتایج حاصل از نرم افزار تجاری HYSYS	۱۵
جدول ۲-۲. تعداد ترتیب بندی های ممکن پالایش با برج های ساده	۳۸
جدول ۳-۲. پارامتر های الگوریتم ژنتیک	۵۴
جدول ۴-۱. مشخصات جریان ورودی به فرایند و گروه محصولات	۷۲
جدول ۴-۲. هزینه های یوتیلیتی	۷۲
جدول ۴-۳. نتایج حاصل از طراحی و بهینه سازی چیدمان ها	۷۳
جدول ۴-۴. نتایج حاصل از طراحی و بهینه سازی چیدمان ها	۹۴
جدول ۴-۵. مقایسه چیدمانهای یکپارچه حرارتی شده از نظر بهینه سازی میزان TAC و شاخص های کنترل پذیری	۱۱۸
جدول ۴-۶. داده های موارد مطالعاتی ۱، ۲ و ۳	۱۲۹
جدول ۴-۷. مقایسه نتایج کار Miguel و کار حاضر برای مورد مطالعاتی ۱	۱۳۱
جدول ۴-۸. مقایسه نتایج کار Miguel و کار حاضر برای مورد مطالعاتی ۲	۱۳۳
جدول ۴-۹. مقایسه نتایج کار حاضر و کار قبلی برای مورد مطالعاتی ۳	۱۳۶
جدول ۴-۱۰. داده های مورد مطالعاتی ۴	۱۳۷
جدول ۴-۱۱. مقایسه کار Miguel و کار حاضر برای مورد مطالعاتی ۴	۱۳۸
جدول ۴-۱۲. داده های مورد مطالعاتی ۵	۱۳۹
جدول ۴-۱۳. مقایسه نتایج کار حاضر و کار Miguel برای مورد مطالعاتی ۵	۱۴۱
جدول ۴-۱۴. مشخصات جریان ورودی به فرایند و گروه محصولات	۱۴۷
جدول ۴-۱۵. داده ها و نتایج حاصل از طراحی و بهینه سازی چیدمان اولیه بدون یکپارچه سازی حرارتی(حالت مینا)	۱۴۸

جدول ۴-۱۶. مقایسه روش GA و IBSA	۱۵۰
جدول ۴-۱۷. داده ها و نتایج حاصل از طراحی چیدمان یکپارچه حرارتی به روش IBSA	۱۵۲
جدول ۴-۱۸. داده ها و نتایج حاصل از طراحی چیدمان یکپارچه حرارتی به روش GA	۱۵۳
جدول ۵-۱. مقایسه چیدمانهای یکپارچه حرارتی شده از نظر بهینه سازی میزان TAC و شاخص های کنترل پذیری	۱۵۸

فهرست اعلام

میزان بار حرارتی	Q
نرخ تبادل حرارت	\dot{Q}
کار	W
توان	\dot{W}
آنالپی مخلوط	H
آنالپی بر واحد جرم یا مول، ضریب انتقال حرارت	h
فشار	p
دما	T
ظرفیت گرمایی ویژه فشار ثابت	C_p
نرخ ظرفیت گرمایی	CP
ضریب تراکم پذیری	Z
حداقل اختلاف دمای محدود	ΔT_{min}
اختلاف دمای لگاریتمی	ΔT_{LM}
شدت جریان بخار در بالای برج	V
شدت جریان بخار در پایین برج	\bar{V}
دبی محصول بالایی برج	D
دبی مولی اجزاء در محصول بالایی برج	d
مقدار جزء سبک در محصول بالایی برج	d_l
مقدار جزء سنگین در محصول بالایی برج	d_h
دبی محصول پایینی برج	B
دبی مولی اجزاء در محصول پایینی برج	b
مقدار جزء سبک در محصول پایینی برج	b_l
مقدار جزء سنگین در محصول پایین برج	b_h
دبی خوراک	F
دبی مولی اجزاء در خوراک	f
جزء مولی اجزاء در مایع	x